

doi: 10.13241/j.cnki.pmb.2015.10.011

## PEI-CS/siRNA 复合颗粒对肝癌耐药细胞 BEL7402/5-FU 中 MRE11 表达的影响 \*

潘杰<sup>1</sup> 朱欣婷<sup>1,2</sup> 刘云<sup>2,3</sup> 谢星星<sup>3</sup> 侯玉群<sup>1,2</sup> 李长福<sup>1,2</sup> 范芳<sup>1,2△</sup>

(1 遵义医学院基础医学院 贵州 遵义 563099; 2 贵州省普通高等学校特色药物肿瘤防治特色重点实验室 贵州 遵义 563099;

3 遵义医学院医学与生物学研究中心 贵州 遵义 563099)

**摘要** 目的:探讨聚乙烯亚胺 - 壳聚糖(PEI-CS)/siRNA 复合颗粒对肝癌耐药细胞 BEL7402/5-FU 中 MRE11 表达的影响。方法:采用复凝聚法将 PEI-CS(100 μg/mL)与不同浓度的 MRE11 siRNA-FAM 形成 PEI-CS/siRNA 复合颗粒,并转染 BEL7402/5-FU 细胞,用荧光显微镜和 Real-time PCR 检测转染效率和沉默效率。结果:荧光显微镜观察结果显示:转染细胞 48 h 后,3.125、6.25、12.5、25、50 μg/mL 的 siRNA 与 PEI-CS 形成的复合颗粒的转染率分别为 62.31%、76.09%、79.99%、86.49%、96.59%。转染细胞 48、72、96 h 后,12.5 μg/mL 的 siRNA 与 PEI-CS 形成的复合颗粒的转染率分别为 78.22%、55.76%、42.85%,25 μg/mL 的 siRNA 与 PEI-CS 形成的复合颗粒的转染率分别为 83.67%、74.23%、67.45%。Real-time PCR 检测结果显示:25 μg/mL 的 siRNA 与 PEI-CS 形成的复合颗粒转染 48 小时后,对 BEL7402/5-FU 细胞中 MRE11 基因的沉默效率为 35.4%。结论:聚乙烯亚胺 - 壳聚糖/siRNA 复合颗粒能有效转染肝癌耐药细胞 Bel7402/5-FU,并对 BEL7402/5-FU 细胞中 MRE11 基因表达有一定抑制作用。

**关键词:**聚乙烯亚胺 - 壳聚糖;复合颗粒;减数分裂重组蛋白 11;RNA 干扰;Bel7402/5-FU

中图分类号:R735.7 文献标识码:A 文章编号:1673-6273(2015)10-1844-04

## Effect of PEI-CS/siRNA Composite Particles on Multidrug-resistant Hepatocellular Carcinoma Cell Line BEL7402/5-FU in MRE11 Gene Expression\*

PAN Jie<sup>1</sup>, ZHU Xin-ting<sup>1,2</sup>, LIU Yun<sup>2,3</sup>, XIE Xing-xing<sup>3</sup>, HOU Yu-qun<sup>1,2</sup>, LI Chang-fu<sup>1,2</sup>, FAN Fang<sup>1,2△</sup>

(1 Basic Medical College, Zunyi Medical University, Zunyi, Guizhou, 563099, China; 2 Guizhou Provincial College-based Key Lab for Tumor Prevention and Treatment with Distinctive Medicines, Zunyi, Guizhou, 563099, China; 3 Medical and Biological Research Center, Zunyi Medical University, Zunyi, Guizhou, 563099, China)

**ABSTRACT Objective:** To explore the effect of PEI-CS/siRNA nanoparticles on gene expression of multidrug-resistant hepatocellular carcinoma cell line BEL7402/5-FU in MRE11. **Methods:** BEL7402/5-FU was transfected with PEI-CS/siRNA nanoparticles, which were prepared with PEI-CS (100 μg/mL) and different concentration of MRE11 siRNA-FAM by condensation method. Then, the rate of transfection was observed by fluorescence microscopy, the silencing efficiency was assessed by Real-time PCR. **Results:** As shown by fluorescence microscopy, when the cell was transfected after 48 hours using nanoparticles which were prepared with PEI-CS at different concentration of siRNA (3.125, 6.25, 12.5, 25, 50 μg/mL), the transfection efficiency showed 62.31%, 76.09%, 79.99%, 86.49%, and 96.59%, respectively. When the cell was transfected with nanoparticles at the concentration of 12.5 μg/mL for different times (48, 72, 96 h), the transfection efficiency was 78.22%, 55.76% and 42.85%, respectively. However, under the test conditions above, the transfection efficiency were respectively turned into 83.67%, 74.23% and 67.45%, when the concentration of nanoparticles was 25 μg/mL. Real-time PCR results showed that the efficiency of RNA interference for MRE11 was 35.4% by PEI-CS/siRNA nanoparticles at the concentration of 25 μg/mL. **Conclusions:** PEI-CS/siRNA nanoparticles can not only effectively transfect multidrug-resistant hepatocellular carcinoma cell line BEL7402/5-FU, but also down-regulate expression levels of gene MRE11.

**Key words:** Polyethyleneimine-chitosan; Composite particles; MRE11; RNA interference; BEL7402/5-FU

**Chinese Library Classification(CLC):** R735.7 **Document code:** A

**Article ID:** 1673-6273(2015)10-1844-04

### 前言

近年来, RNAi 技术在肿瘤基因治疗方面取得巨大进展。由

于 RNA 的强阴离子磷酸二酯骨架,裸 siRNA 不能自由穿越细胞膜,所以需要一种可靠、高效的递送载体使其进入细胞,发挥作用<sup>[1]</sup>。目前常用递送载体包括病毒载体和非病毒载体两大类

\* 基金项目:贵州省科技厅社会发展攻关项目(黔科合 SY[2013]3008);遵义医学院招标项目(F-614);

遵义市红花岗区科技基金(遵红科合社字[2009]18);贵州省教育厅特色重点实验室建设项目(黔教合 KY 字[2014]212)

作者简介:潘杰(1986-),女,硕士研究生,主要研究方向:肿瘤分子生物学,E-mail:121125307@qq.com

△通讯作者:范芳,E-mail:fanfl970@126.com

(收稿日期:2014-10-25 接受日期:2014-11-22)

<sup>[2]</sup>。病毒载体虽能达到高效转染，但由于其存在潜在的安全隐患，一定程度上限制了其医学应用<sup>[3,4]</sup>。而非病毒载体因低免疫原性、无插入基因大小限制、易于生产等优点，受到广泛青睐。在众多非病毒载体中，壳聚糖是被人们关注得比较多的一种非病毒基因递送载体，因其具有低毒性、生物相容性、降解能力良好，而被修饰后广泛应用<sup>[5,6]</sup>。Zhao 等已利用聚乙烯亚胺-壳聚糖(Polyethylenimine-chitosan, PEI-CS)用于质粒 DNA 的递送，并取得了良好的转染效果<sup>[7]</sup>。

减数分裂重组蛋白 11 (Meiotic recombination 11, MRE11) 是 MRN 复合物(MRE11/RAD50/NBS1)重要组分之一。有报道指出，它的表达量与肿瘤的恶性程度相关，且在肿瘤的发生中有相当大的作用<sup>[8]</sup>。本课题组前期研究发现，以阳离子脂质体转染法，将 shMRE11 质粒载体转染人肝癌耐药细胞 BEL7402/5-FU，能有效抑制 MRE11 的表达<sup>[9]</sup>。由于 shRNA 质粒表达 siRNA 的效率易受细胞状态的影响，在研究化疗药物与 siRNA 联用抑制肿瘤的过程中，难以获得好的效果。因此本研究以 PEI-CS 为载体，将 PEI-CS 与 MRE11 siRNA-FAM 形成 PEI-CS/siRNA-FAM 复合颗粒，通过体外转染肝癌耐药细胞 BEL7402/5-FU，观察 PEI-CS/siRNA-FAM 复合颗粒的转染率及对 MRE11 的沉默率，以期为开展化疗药物与 siRNA 联用，克服肝癌细胞的多药耐药性打下基础。

## 1 材料与方法

### 1.1 主要实验材料

BEL7402/5-FU 细胞株(南京凯基生物科技发展有限公司)；CDI (N,N- 羰基二咪唑，上海生工生物工程公司)；聚乙烯亚胺(MW1800, 99%，上海晶纯实业有限公司)；壳聚糖(浙江金壳药业有限公司)；MRE11 siRNA 序列为 5'-AAGAACCUUGGUC-CCAGAGGAG-3'，参考文献<sup>[10]</sup>合成，并标记 FAM 荧光基团(上海吉玛制药技术有限公司)；1640 培养基(Hyclone 公司)。

### 1.2 方法

**1.2.1 聚乙烯亚胺 - 壳聚糖(PEI - CS)的制备** 取 0.5 g 壳聚糖(CS)溶于 20 mL 0.5% 醋酸，待完全溶解后加入 0.223 g CDI，反应 1 h 后加入 0.0295 g PEI，室温反应过夜，再透析 48 h 后，取出透析液冷冻干燥，即得<sup>[11]</sup>。

**1.2.2 BEL7402/5-FU 细胞培养** 将 BEL7402/5-FU 细胞于含 10% 胎牛血清、20 μg/mL 5-FU 的 DMEM 培养液，37 °C、5% CO<sub>2</sub> 饱和湿度条件下培养。细胞贴壁生长，每天换液 1 次，2-3d 传代一次，取对数期细胞用于实验<sup>[12]</sup>。

**1.2.3 复凝聚法 PEI-CS/siRNA-FAM 复合颗粒的制备** 将 4 mg PEI-CS 溶于 40 mL 10 mM 醋酸，用 0.22 μm 微孔滤膜过滤，配成 100 μg/mL PEI-CS, 55°C 孵育 15 min。用 50 mM 的硫酸钠将 siRNA-FAM 分别稀释成 3.125、6.25、12.5、25、50 μg/mL 的浓度，稀释后分别与 PEI-CS 等体积混合，涡旋 25 sec 后，在室温下静置 30 min，制备出不同 siRNA 浓度的复合颗粒(PEI-CS/siRNA-FAM)，即质量比( $m_0/m_t$ )分别为 32, 16, 8, 4, 2 的五个样本( $m_0$  为 PEI-CS,  $m_t$  为 siRNA)。

**1.2.4 BEL7402/5-FU 细胞转染** 将 BEL7402/5-FU 细胞以 4 × 10<sup>5</sup> 个 / 孔的密度接种于 24 孔培养板，当融合度达到 80% 左右时，吸去各孔的培养液，将五个 PEI-CS/siRNA-FAM 复合

颗粒样本，加至相应培养孔中，每孔加 100 μL，用培养基补足到 500 μL, 8 h 后换液。转染 48 h 后，荧光显微镜下计数。转染效率 = 每个视野下的荧光细胞个数 / 相同视野下的细胞总数 × 100 %。

**1.2.5 Real-time PCR 检测 MRE11 mRNA 水平的表达** 实验共分为 4 组：空白对照组、PEI-CS 组、siRNA-FAM 组、PEI-CS/siRNA-FAM 实验组。用  $m_0/m_t=4$  的 PEI-CS/siRNA-FAM 转染 BEL7402/5-FU 48 h 后，按 RNAiso Plus 试剂盒说明书，提取各组细胞总 RNA。Real-time PCR 引物：MRE11 上游 5'-GTGGACAAGGAGGAGAAAGATG-3'；下游 3'-TACTT-CAGGCACTCCGATACTG-5'，扩增片段长度为 188 bp。 $\beta$ -actin 上游 5'-TGGCACCCAGCACAATGAA-3'；下游 3'-CTAAGTCATAGTCCGCCTAGAAGCA-5'，扩增片段长度为 232 bp。用 Real-time PCR 仪检测各组样品 MRE11 mRNA 表达量，根据 Ct 值通过公式  $2^{-\Delta\Delta Ct}$  进行相对定量分析计算可得 MRE11 mRNA 相对表达量。

### 1.3 统计学处理

以上实验均重复 3 次，实验结果均用均数 ± 标准差(  $\bar{x} \pm s$  ) 表示。采用 SPSS 18.0 软件进行统计学分析，资料经正态性及方差齐性检验后，行单因素方差分析，组间两两比较采用 LSD-t 检验法。P<0.05 为差异有统计学意义。

## 2 结果

### 2.1 PEI-CS/siRNA-FAM 转染效率的检测

**2.1.1 不同浓度 PEI-CS/siRNA 对 BEL7402/5-FU 的转染率** PEI-CS/siRNA 转染 Bel7402/5-FU 细胞 48 h 后，质量比( $m_0/m_t$ ) 分别为 32, 16, 8, 4, 2 的转染效率分别为 62.31%、76.09%、79.99%、86.49%、96.59%，呈现明显的剂量依赖性(图 1)。另外，转染后荧光显微镜成像情况(图 2)也表明，携有 FAM 的复合颗粒能够很容易进入胞内，且用 25 μg/mL siRNA 制备的复合颗粒，转染效率明显强于 12.5 μg/mL。

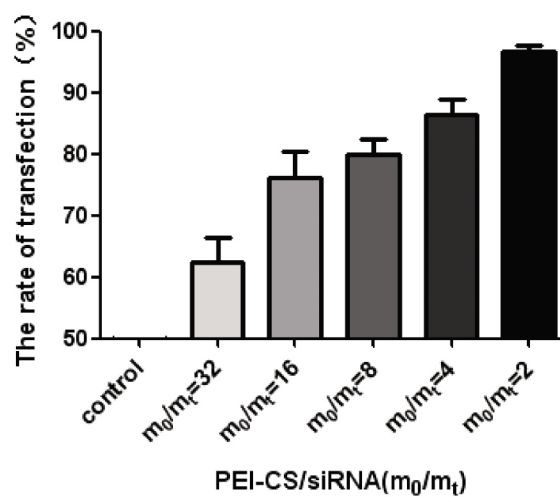


图 1 PEI-CS/siRNA-FAM 转染 Bel7402/5-FU 48h 的转染率, control:

siRNA=50 μg/mL;  $m_0$ : PEI-CS 浓度,  $m_t$ : siRNA 浓度

Fig. 1 The transfection efficiency of PEI-CS/siRNA-FAM in

Bel7402/5-FU after transfected 48 h, control: siRNA=50 μg/mL;

$m_0$ : PEI-CS concentration,  $m_t$ : siRNA concentration

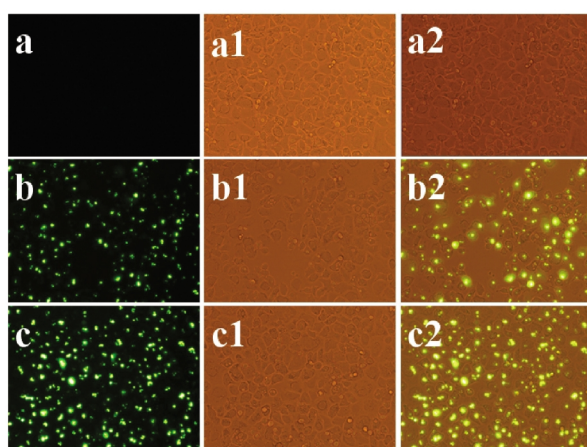


图 2 PEI-CS/siRNA-FAM 转染后荧光显微镜成像情况(200 $\times$ )，  
a:  $m_0/m_t=0$ , b:  $m_0/m_t=8$ , c:  $m_0/m_t=4$ ; 荧光光源(a, b, c), 明场(a1, b1,c1),  
明场 + 荧光光源(a2,b2,c2)

Fig. 2 The microscope image of PEI-CS/siRNA-FAM after transfection at different test conditions after transfection conditions(200 $\times$ ),  
a:  $m_0/m_t=0$ , b:  $m_0/m_t=8$ , c:  $m_0/m_t=4$ , Fluorescence(a,b,c), Bright field  
(a1, b1,c1), Merged images from bright field and fluorescence (a2,b2,c2)

2.1.2 转染时间对转染效率的影响 分别用  $m_0/m_t=8, 4$  的 PEI-CS/siRNA 复合颗粒考察不同转染时间对转染效率的影响。如图 3 显示,  $m_0/m_t=4$  的 PEI-CS/siRNA 转染 96 h 后, 与 48

和 72 h 比较, 仍保持较高的水平; 而  $m_0/m_t=8$  的 PEI-CS/siRNA 转染 72 和 96 h 后, 转染效率下降明显。

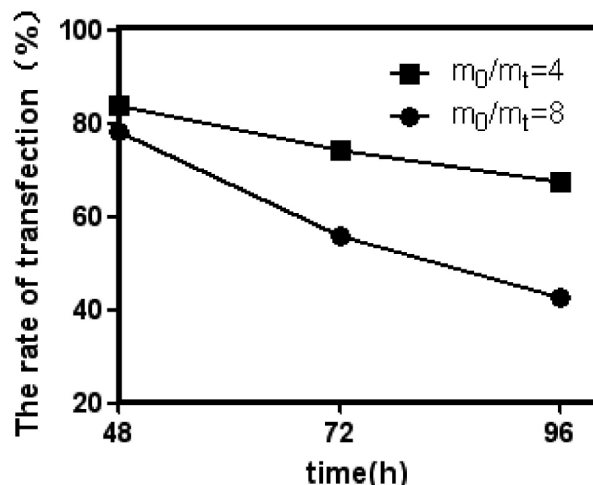


图 3 转染时间对 PEI-CS/siRNA 的转染效率的影响

Fig. 3 The effect of transfection time on the Transfection rate of PEI-CS / siRNA

## 2.2 Real-time PCR 检测 Mre11 mRNA 水平的沉默效率

转染 48 h 后, 由表 1 和图 4 可见: PEI-CS/ siRNA 转染组中 MRE11 mRNA 的表达比空白对照组低 ( $P<0.05$ ), 且 MRE11 mRNA 水平的沉默效率为 35.4%。

表 1 各组细胞 MRE11 mRNA 相对表达量( $\bar{x}\pm s, n=3$ )

Table 1 The Relative expression levels of MRE11 mRNA for different groups( $\bar{x}\pm s, n=3$ )

Groups	MRE11 mRNA level (Ct Value)	$\beta$ -actin mRNA level (Ct Value)	MRE11 Fold Change ( $2^{-\Delta\Delta Ct}$ )
Control group	27.392 $\pm$ 0.337	15.283 $\pm$ 1.071	1.000 $\pm$ 0.000
PEI-CS group	27.202 $\pm$ 0.241	15.417 $\pm$ 1.271	0.917 $\pm$ 0.054
siRNA group	27.282 $\pm$ 0.474	15.216 $\pm$ 1.296	0.948 $\pm$ 0.162
PEI-CS/ siRNAGroup	27.915 $\pm$ 0.235**	15.583 $\pm$ 1.508	0.646 $\pm$ 0.059**

Note: Compared with the control group, \*\* $P<0.05$ .

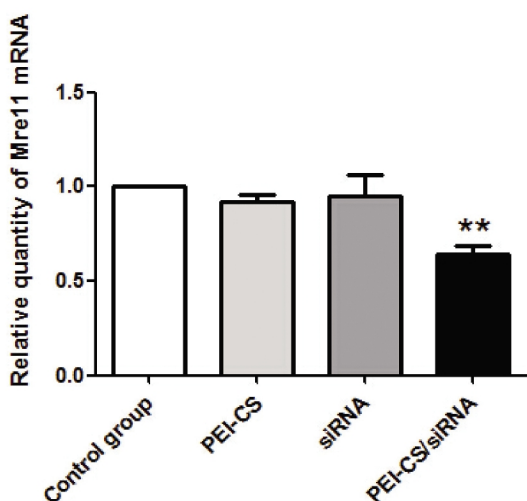


图 4 各组细胞 Mre11 mRNA 相对表达量( $n=3$ ), 与对照组相比, \*\* $P<0.05$

Fig. 4 The rate of DNA synthesis for different groups (%),  $\bar{x}\pm s, n=3$ ,  
compared with the control group, \*\* $P<0.05$

## 3 讨论

既往研究表明, 聚乙烯亚胺(Polyethylenimine, PEI)和壳聚糖(Chitosan, CS)作为非病毒载体被广泛地用于基因递送。PEI 由于其阳离子特性和质子缓冲能力, 被认为是用于基因递送的最有效的阳离子聚合物之一<sup>[13,14]</sup>。然而, PEI 的高细胞毒性阻碍了其应用<sup>[15]</sup>。另一方面, 众所周知, CS 有高阳离子电势和较低细胞毒性的, 是一种具有生物相容性和生物降解性的材料<sup>[16]</sup>。但是, CS 的低转染效率显著地限制了其在基因递送中的应用<sup>[17]</sup>。PEI-CS 作为载体进行质粒 DNA 转染时, 易于其形成纳米粒, 与其有良好的链接力, 并能够使其免受核酸酶的降解, 便于细胞摄取和内体逃逸<sup>[18]</sup>。与 PEI 25KDa 相比, PEI-CS 的毒性更低, 且在 HepG2, A549 和 HeLa 细胞系中都表现出高的转染效率<sup>[19]</sup>。

本实验考察了不同质量比的 PEI-CS/siRNA 复合颗粒对 BEL7402-5FU 细胞进行 siRNA 转染后, 对转染效率和持续性的影响。结果表明 3.125, 6.25, 12.5, 25, 50  $\mu$ g/mL siRNA 与相

同浓度的 PEI (100 μg/mL) 形成质量比为 32,16,8,4,2 的 PEI-CS/siRNA 复合颗粒, 转染细胞 48h 后, 转染效率随着 siRNA 浓度的增加而增加, 与对照组比较差异有统计学意义, 且在 50 μg/mL 范围内呈现剂量依赖性。用质量比为 8,4 的 PEI-CS/siRNA 复合颗粒转染细胞 48,72,96 h 后, 质量比为 4 的 PEI-CS/siRNA 复合颗粒转染效率的下降幅度与质量比为 8 的相比较差异较小, 说明质量比为 4 的 PEI-CS/siRNA 复合颗粒转染的持续性更好。为了了解 PEI-CS/siRNA 复合颗粒转染 BEL7402-5FU 细胞后, 对 MRE11 基因的沉默效果。我们以有较高转染效率且转染持续性良好的质量比为 4 的 PEI-CS/siRNA 复合颗粒转染 BEL7402-5FU 细胞, Real-time PCR 检测 MRE11 mRNA 水平的表达量, 与对照组相比较, 有较大差异, 进一步说明了 PEI-CS/siRNA 复合颗粒能够进入 BEL7402-5FU 细胞, 且对 MRE11 基因的表达有抑制作用。

肿瘤化学疗法是当今治疗肿瘤的重要方法之一, 然而由于多药耐药(multidrug resistance, MDR)<sup>[20]</sup>的存在, 不能得到良好的化疗效果。RNAi 技术因其能特异地沉默肿瘤靶基因, 抑制肿瘤生长, 现在更多用于一些抗肿瘤耐药的研究<sup>[21,22]</sup>。而临床常用的肿瘤治疗方法中, 绝大多数是通过破坏 DNA 而实现的。MRE11 在 DNA 双链断裂(double stranded breaks, DSBs)修复中发挥重要作用<sup>[23]</sup>, 不但是 DNA 损伤的感受器, 而且是 DNA 修复的启动因子, 还能修饰受损的 DNA 分子<sup>[24,25]</sup>。本研究利用 PEI-CS 与 MRE11 siRNA-FAM 形成 PEI-CS/siRNA-FAM 复合颗粒, 并成功实现了持续转染和对 MRE11 表达抑制, 为课题组今后开展化疗药物与 siRNA 联用, 克服肝癌细胞多药耐药的研究打下了坚实基础。

#### 参考文献(References)

- [1] Kim WJ, Kim SW. Efficient siRNA delivery with non-viral polymeric vehicles[J]. Pharm Res, 2009, 26(3): 657-666
- [2] Liu Jue-zhao, Xin Mei-hua, Li Ming-chun. Research progress in chitosan derivatives for non-viral gene deliveries [J]. Chemical Industry and Engineering Progress, 2010, 29(8): 1485-1491
- [3] Huang PI, Lo WL, Cherng JY, et al. Nonviral delivery of RNA interference targeting cancer cells in cancer gene therapy [J]. Curr Gene Ther, 2012, 12(4): 275-284
- [4] Rekha MR, Sharma CP. Polymers for gene delivery: current status and future perspectives[J]. Recent Pat DNA Gene Seq, 2012, 6(2): 98-107
- [5] Wong K, Sun G, Zhang X, et al. PEI-g-chitosan, a novel gene delivery system with transfection efficiency comparable to polyethylenimine in vitro and after liver administration in vivo [J]. Bioconjug Chem, 2006, 17(1): 152-158
- [6] Carrillo C, Suñé JM, Pérez-Lozano P, et al. Chitosan nanoparticles as non-viral gene delivery systems: determination of loading efficiency[J]. Biomed Pharmacother, 2014, 68(6): 775-783
- [7] Zhao QQ, Chen JL, Han M, et al. Combination of poly(ethylenimine) and chitosan induces high gene transfection efficiency and low cytotoxicity[J]. Biosci Bioeng, 2008, 105(1): 65-68
- [8] Shyng-Shiou F, Yuan, Ming-Feng Hou, et al. Role of Mre11 in cell Proliferation, tumor invasion, and DNA repair in Breast cancer [J]. Journal of the National Cancer Institute, 2012, 104(19): 1485-1502
- [9] Fan Fang, Geng Lei, Li Da-yu, et al. ShRNA-mediated MRE11 gene silencing inhibits DNA repair in multidrug-resistant hepatocellular carcinoma cell line BEL7402/5-FU [J]. World Chinese Journal of Digestology, 2013, 21(29): 3053-3058
- [10] Xu M, Myerson RJ, Hunt C, et al. Transfection of human tumour cells with Mre11 siRNA and the increase in radiation sensitivity and the reduction in heat-induced radiosensitization [J]. International Journal of Hyperthermia, 2004, 20(2): 157-162
- [11] Jiang HL, Kwon JT, Kim EM, et al. Galactosylatedpoly(ethyleneglycol)-chitosan-graft -polyethylenimine as a gene carrier for hepatocyte-targeting [J]. Journal of Controlled Release, 2008, 131(2): 150-157
- [12] Liang Dami, Shu Bo, Yang Jiawei, et al. Effects of DNA-PKcs gene silence on drug resistance of multidrug-resistant hepatocellular carcinoma cell line BEL7402/5-FU [J]. Journal of Zunyi Medical University, 2014, 37(3): 304-307
- [13] Ziebarth JD, Wang Y. Understanding the protonation behavior of linear polyethylenimine in solutions through Monte Carlo simulations [J]. Biomacromolecules, 2010, 11(1): 29-38
- [14] Zhu Qing, Liu Ke-hai, Wang Xiao-yu, et al. Application of polyethylenimine and chitosan as gene carriers [J]. Pharm Care Res, 2013, 13(6): 445-448
- [15] Zhao QQ, Chen JL, LÜT F, et al. N/Pratiosignificantly influences the transfection efficiency and cytotoxicity of apolyethylenimine/chitosan/DNA complex[J]. Biol Pharm Bull, 2009, 32(4): 706-710
- [16] Miao Pei-hong, He Cai-xia, Gao Jian-qing, et al. Progress of PEI-based Cationic Polymers as Non-viral Gene Vectors [J]. Chin JMAP, 2011, 28(6): 505-510
- [17] Gaymes TJ, Mohamedali AM, Patterson M, et al. Microsatellite instability induced mutations in DNA repair genes CtIP and MRE11 confer hypersensitivity to poly (ADP-ribose) polymerase inhibitors in myeloid malignancies[J]. Haematologica, 2013, 98(9): 1397-1406
- [18] Lu H, Dai Y, Lv L, et al. Chitosan-graft-polyethylenimine/DNA nanoparticles as novel non-viral gene delivery vectors targeting osteoarthritis[J]. PLoS One, 2014, 9(1):e84703
- [19] Gao JQ, Zhao QQ, Lv TF, et al. Gene-carried chitosan-linked-PEI induced high gene transfection efficiency with low toxicity and significant tumor-suppressive activity[J]. Int J Pharm, 2010, 387(1-2): 286-294
- [20] Wang Xiu-mei, Peng Wen-xing, Wen Xiao-ke. Progress in Signal Transduction Mechanisms for Transcriptional Regulation of the MDR1 Gene[J]. Guide of China Medicine, 2012, 10(30): 436-440
- [21] Chen Guiyuan, Tan Deyong. The Research Status and Application Prospect of RNA Interference[J]. Journal of Dali University, 2012, 11 (10): 52-55
- [22] Cai B, Miao Y, Liu Y, et al. Nuclear multidrug-resistance related protein 1 contributes to multidrug-resistance of mucoepidermoid carcinoma mainly via regulating multidrug-resistance protein 1: a human mucoepidermoid carcinoma cells model and Spearman's rank correlation analysis[J]. PLoS One, 2013, 8(8): e69611
- [23] Yamaguchi-Iwai Y, Sonoda E, Sasaki MS, et al. Mre11 is essential for the maintenance of chromosomal DNA in vertebrate cells [J]. EMBO J, 1999, 18(23): 6619-6629
- [24] Liao S, Guay C, Toczyłowski T, et al. Analysis of MRE11's function in the 5'→3' processing of DNA double-strand breaks [J]. Nucleic Acids Res, 2012, 40(10): 4496-4506
- [25] Foster SS, Balestrini A, Petrini JH. Functional interplay of the Mre11 nuclease and Ku in the response to replication-associated DNA damage[J]. Mol Cell Biol, 2011, 31(21): 4379-4389